

1. まえがき

電気衝撃工法は砂質土盤を対象とした土盤締固め工法であり、土盤中で高圧放電を起して、その際発生する衝撃力により周囲の砂質土盤を締固めようとするものである。昭和39年以来本工法の基礎実験を行ってきたが、今回南東ローム地盤中に掘削した2.5×2.5×深さ3mのピットに砂を詰め、締固め実験を実施したので、その結果の概要を報告する。

2. 実験方法

実験装置は図-1に示すように電源装置、ケーブルおよび放電電極からなり、放電電極は図-2に示す構造で、電極筒には細線が穿ってある。この細線は特に用いたもので、ナイロンロープの表面に導電性塗料を塗布したものであり、この細線を用いることにより電源装置に蓄えたエネルギーを有効に衝撃力に変えることができる。実験試料としては川砂および海浜の埋立砂の2種類を使用した。両試料の粒径加積曲線は図-3のようになり、粗粒率で表わせば、川砂(1.75)、海砂(1.22)となる。便宜上前者を粗砂、後者を細砂と呼ぶことにする。

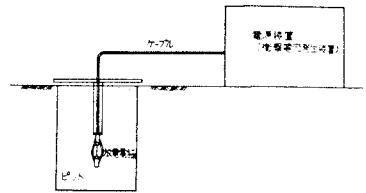


図-1 実験装置配置図

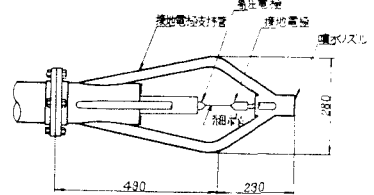


図-2 放電電極

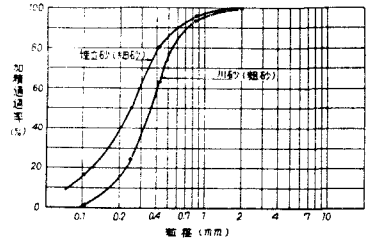


図-3 実験砂の粒度組成

放電は容量35.8kJ(印加電圧40kV、コンデンサ容量44.74μF)の電源装置により3分間に1回の割合で行なった。締固め効果の判定は試料面の沈下量および強度増加を測定して行なうことにし、強度は鹿島式自記サンディングカーによりコーン支持力を測定した。締固め前の強度は $q_c = 20 \text{ kg/cm}^2$ であった。

3. 実験結果

(1) 沈下量について-----沈下量の測定結果のうち粗砂の場合を図-4に示すが、両試料共放電50回ぐらいで沈下量はほとんど増加しなくなる。放電50回および100回後の沈下量をその最大、最小値で示せば表-1のようになるが、試料面の沈下状況は図-5に示すように放電電極に近いほど沈下量が大き

表-1 放電後の試料面の沈下量

放電回数	粗砂		細砂	
	最大	最小	最大	最小
50	14.3cm	6.9	10.9	6.0
100	—	8.9	12.6	7.3

表-2 放電100回後の強度

電極からの距離	粗砂	細砂
0.5m	$q_c = 67 \text{ kg/cm}^2$	67
1.0	56	46

くなっている。

(2) 締固メ後の強度について-----コーン支持力の測定結果より締固メ後の等強度曲線を求めると図-6, 7 のようになり、深さ方向には放電ギャップ深さ以下約 0.5 m、横方向には放電々極から約 0.8 m の範囲で他と比べて著しい締固メがみられ、放電 100 回後の最大強度は表-2 のとおりであり、両試料の場合共 $\rho_c = 170 \text{ kg/cm}^3$ である。また放電々極を中心として直径 1.5 m の範囲の放電 100 回後の強度を求めると次のようになる。

粗砂 $\rho_c = 50 \sim 170 \text{ kg/cm}^3$

細砂 $\rho_c = 40 \sim 170$

(3) 締固メ範囲について-----図-6, 7 において、締固メは放電々極のごく近くでは円盤状に行なわれ、離れると球形に近くなっている。そこで電極を中心として球形に締固メが行なわれると仮定して、その範囲を直径で表すと表-3 のようになる。

(4) 試料粒度の相異の影響について-----今回粒度の異なる 2 試料(粗粒率 1.75 および 1.22) について同一条件で締固メ実験を行なったが、強度、締固メ範囲共明確な相異は現れなかった。

4. おわりに

今回実験したのは $2.5 \times 2.5 \times 30^3 \text{ m}$ のビットに詰めた砂についての小規模な実験ではあるが、ゆるい砂地盤が高圧放電による衝撃力により、放電々極を中心としてほぼ球形に締固メられることが判明した。今後は現場実験において、放電エネルギーを種々変化させて締固メを行ない、

(i) 放電エネルギーと締固メ効果の関係

(ii) 地盤の粒度と締固メ効果の関係

を明らかにしたいと考えている。

この実験は高電圧を扱う特殊なものであるため、通産省工業技術院電気試験所および日新電機 kk と協同で行なったものである。御指導頂いた電気試験所鶴見操研博士、木下勝弘博士、御協力頂いた日新電機 kk 吉田恭信、坂本勇、鈴木泰雄、震害建設 kk 高政修一の各氏に厚く御礼申し上げます。

表-3 締固メ範囲と強度との関係

コーン支持力 $\rho_c (\text{kg/cm}^2)$	締固メ範囲の直径 (m)			
	粗砂		細砂	
	放電 50 回	100 回	50 回	100 回
60~70	1.1	1.6		1.5
50 以上	2.0	2.0	1.0	1.8
40	2.2	2.2	1.7	2.1
30	2.4	2.5 以上	2.2	2.5 以上

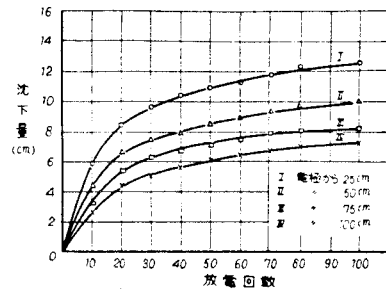


図-4 沈下測定結果(細砂)

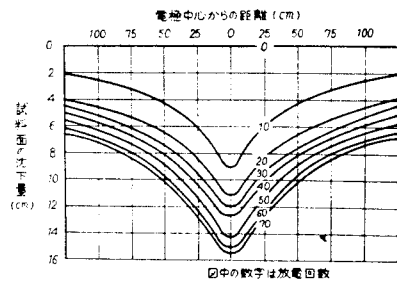


図-5 放電による試料面の沈下状況(細砂)

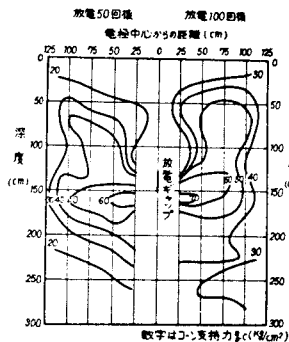


図-6 締固メ後の強度分布(粗砂)

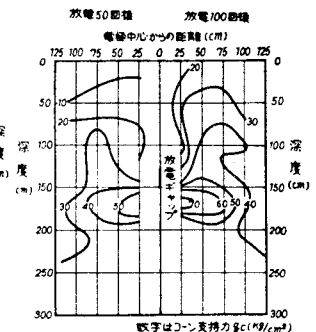


図-7 締固メ後の強度分布(細砂)